

## 화랑곡나방(*Plodia interpunctella* Hübner) Carboxylesterase-III의 정제 및 생화학적 특성

박희윤\* · 유종명

한남대학교 이과대학 생물학과  
(1999년 11월 25일 접수)

### Purification and Biochemical Characterization of Carboxylesterase-III from *Plodia interpunctella* Hübner

Hee Yun Park\* and Chong Myung Yoo

Department of Biology, Han Nam University, Taejon 300-791, Korea

(Received November 25, 1999)

**ABSTRACT :** Purification and biochemical experiments on the carboxylesterases-III (CE-III) from the Indian meal moth, *Plodia interpunctella* (Hübner) were carried out to understand their enzymemological characteristics. The CE-III from the fifth instar larvae was purified by means of ammonium sulfate fractionation, gel permeation chromatography and ion exchange chromatography. The optimal temperature for the reaction of the CE-III on the 4 substrates ( $\alpha$ -Na,  $\alpha$ -Nb,  $\beta$ -Na and  $\beta$ -Nb) was confirmed at 40°C. The optimal pH for the reactions on the substrates  $\alpha$ -Na and  $\alpha$ -Nb was 7.5. But the optimal pH on the substrate  $\beta$ -Na and  $\beta$ -Nb was 8.0. The optimal substrate concentration for the reactions of the CE-III was  $3.16 \times 10^{-3}$  M in  $\alpha$ -Na and  $\beta$ -Nb. On the substrate  $\beta$ -Na and  $\alpha$ -Nb, the optimal substrate concentration was  $1.0 \times 10^{-3}$  M for CE-III. The  $V_{max}$  and  $K_m$  values of the carboxylesterases were varied by the substrates as followings : the  $V_{max}$  of CE-III was 45.9 for  $\alpha$ -Na, 52.6 for  $\beta$ -Na, 36.4 for  $\alpha$ -Nb, and 83.3 ( $\mu\text{mol}/\text{min}/\text{mg protein}$ ) for  $\beta$ -Nb. The  $K_m$  of CE-III was  $1.43 \times 10^{-4}$  M for  $\alpha$ -Na,  $3.57 \times 10^{-5}$  M for  $\beta$ -Na,  $9.17 \times 10^{-5}$  M for  $\alpha$ -Nb, and  $7.14 \times 10^{-5}$  M for  $\beta$ -Nb, respectively. The CE-III seemed to have somewhat high thermostability considering that the temperature for effective denaturation on activity was about 50°C ~ 60°C.

**Key words :** carboxylesterase-III, pH,  $V_{max}$ ,  $K_m$ , *Plodia interpunctella*

화랑곡나방(*Plodia interpunctella* Hübner)은 저장곡물, 전과류 및 전조된 엽연초 등의 가해곤충으로 그 피해정도가 막대하며, 약제에 대한 내성기전이 고도로 발달되어있는 것으로 알려져 있는데, 특히 약제 내성에 중추적인 역할을 담당하는 물질은 다수의 isozyme으로 존재하는 esterase임이

많은 연구를 통해 밝혀졌다(Zettler, 1982; Field 등, 1984; Kao 등, 1984; Ziegler 등, 1987; Whyard 등, 1994). 따라서 근래의 연구에서는 이들의 약제 저항기전을 파악하고자 해충의 특정 esterase isozyme의 기능 및 특성에 관한 연구가 전기영동 및 chromatography를 이용한 효소의 정제를 통하여 활발히

\* 연락처자 : 300-791, 대전광역시 대덕구 오정동 133, 한남대학교 이과대학 생물학과

\* Corresponding author : Department of Biology, Han Nam University, Ojung Dong, Taejon 300-791, Korea

진행되고 있다. Hemingway(1985)는 *Anopheles arabiensis*에서 carboxylesterase의 kinetics 연구로 malathion 저항성종과 감수성 종간의 차이를 비교하였고, Owusu 등(1994)은 *Aphis gossypii*의 carboxylesterase에 관한 효소의 반응최적온도, pH 및 기질의 농도 등에 대한 효소학적 연구를 수행하였다. 또한 Siegfried 등(1997)은 *Schizaphis graminum*로부터 정제한 carboxylesterase 활성에 대한 기질특이성 연구에서 각 기질별 반응상의 차이가 존재함을 보고하는 등 정제된 효소를 대상으로 한 효소학적인 연구가 활발히 수행되고 있다 (Lester와 Gilbert, 1987; Belzunces 등, 1988; Siegfried와 Scott, 1990; Mamiya 등, 1997; Ohbayashi 등, 1997). 본 연구는 다수로 존재하는 화랑곡나방의 esterase isozyme(Park 등, 1998) 중 carboxylesterase-III(CE-III)를 분리 정제한 후, 정제된 효소의 생화학적 특성을 구명하고자 수행하였다.

## 재료 및 방법

### 실험재료

화랑곡나방(*Plodia interpunctella* Hübner)을 곤충 사육실(온도:  $27 \pm 2^\circ\text{C}$ ; 상대습도:  $60 \pm 2\%$ ; 광주기: 16 h-light, 8 h-dark)에서 밀과 귀리를 먹이로 누대사육하였다(Silhacek 외 Miller, 1972). 실험재료는 5령 유충을 암수 구분없이 다양 수집하여 얻은 총체를 사용하였다. 모든 재료들은 사용시까지 초저온냉동고( $-70^\circ\text{C}$ )에 보관하였다.

### 시료의 준비

저온실( $4^\circ\text{C}$ )에서 채취한 총체의 무게를 측정한 다음,  $10 \mu\text{M}$  phenylthiourea(PTU)가 포함된 67mM sodium phosphate buffer(pH 7.0)를 첨가한 후 glass grinder(Wheaton-33)로 마쇄하였다. 최종적으로 동일 buffer를 가하여 추출액을 40% (w/v)로 균질화시킨 후  $4^\circ\text{C}$ 에서 10,000rpm으로 15분간 원심분리(Beckman, J2-21 centrifuge)하여 조직질편 및 부유물을 제거한 다음 상층액을 취하여 crude enzyme으로 사용하였다.

### 단백질의 농도 측정

단백질 농도의 정량은 Lowry 등(1951)의 방법을 이용하여 실시하였다. 표준단백질은 bovine serum albumin을 사용하였으며, 시료의 반응액을 Spectronic Genesys 5 Spectrophotometer(Milton Roy Co.)를 이용하여 파장 750nm에서 흡광도를 측정여 단백질의 농도를 산출하였다.

### Esterase의 활성도 측정

Esterase의 활성도는 Ozaki and Koike(1965)의 방법을 이용하여 측정하였다. 반응액을 spectronic Genesys 5 spectrophotometer(Milton Roy Co.)를 이용하여 파장 540nm에서 흡광도를 측정하였다. Esterase의 활성도는 정제된  $\beta$ -naphthol(Sigma, USA)을 사용하여 작성한 표준곡선의 함수에 적용하여 산출하였으며, esterase의 활성도 값은 효소의 작용으로 가수분해되어 방출된  $\beta$ -naphthol의 유리량( $\mu\text{g}$ )으로 나타내었다.

### Esterase isozyme의 확인

Esterase isozyme의 band 확인은 Laemmli(1970)의 native-PAGE 방법을 일부 변형하여 실시하였다. 즉 7.5% 농도의 polyacrylamide gel에 시료 15  $\mu\text{l}$  씩을 loading하여 처음 2시간은 5 mA로, 그 이후는 10mA로  $4^\circ\text{C}$ 에서 전기영동을 실시하였으며 running buffer는 250mM Tris-glycine(pH 8.6)을 사용하였다. 전기영동에 의해 분리된 isozyme band들의 확인은 Van Der Geest와 Borgsteede(1969)의 방법에 준하여 염색한 후 확인하였다.

### Carboxylesterase-III의 분리 및 정제

5령 유충에서 채취한 총체의 추출액 100ml에 단계별로 ammonium sulfate를 0~40%, 40~50%, 50~60%, 60~70%의 농도로 각각 포화시켜  $4^\circ\text{C}$ 에서 단백질을 침전시킨 후 8,000rpm에서 20분간 원심분리하였다. 상층액을 제거하고 침전된 단백질에 동량의 50mM sodium phosphate buffer(pH 7.0)를 첨가, 혼합시킨 다음 투석하여 native-PAGE를 통해 각각의 ammonium sulfate 분획별 esterase isozyme band를 분리, 확인하였다. 분획중 다양한 CE-III를 포함하는 40~50% ammonium sulfate 침전 단백질을 membrane filter(Sartorius Co.,

Germany)로 여과한 다음 동일 buffer로 평형시킨 DEAE Sepharose CL-6B column( $2.5 \times 20\text{cm}$ )에 시료를 loading한 후 용출속도  $0.4\text{mL/min}$ 로 tube당  $2.0\text{mL}$ 씩 분획하였다. Bound protein은  $0.05\sim 0.25\text{M}$  sodium phosphate buffer(pH 7.0)의 linear gradient 상에서 용출시켰다. 분획 중 CE-III를 포함하는 fraction(D-3: No. 73~89)을 native-PAGE를 통하여 확인한 다음 투석시킨 후 Centriprep(Amicon Co., USA)을 이용 농축하여  $0.05\text{M}$  sodium phosphate buffer(pH 7.0)에 평형시킨 Sephadex G-200 column( $2.5 \times 30\text{cm}$ )으로 분리하였다. 용출속도는  $0.25\text{mL/min}$ 으로 tube당  $2\text{mL}$ 씩 분획한 다음 부분정제가 확인된 fraction(S-2: No. 50~62)을 모아 농축하여 동일 buffer로 평형시킨 Sephadex G-150 column( $2.5 \times 30\text{cm}$ )에 용출속도  $0.2\text{mL/min}$ 으로 tube당  $2\text{mL}$ 씩 분획하여 최종적으로 gel permeation chromatography하였다. 정제된 CE-III를 함유하는 높은 효소활성을 보이는 peak의 fraction(S-5: No. 38~45)들을 tube별로 모아 농축한 후 7.5% polyacrylamide gel에서 전기영동을 실시하여 CE-III의 단일 band를 나타내는 fraction을 확인하였고, 단일 band로 확인된 fraction만을 수집하여 농축한 후 정제된 CE-III의 시료로 사용하였다.

#### 반응최적온도 측정

정제된 효소(CE-III)의 반응최적온도를 알아보기 위하여 4종의 기질  $\alpha$ -naphthyl acetate( $\alpha$ -Na),  $\beta$ -naphthyl acetate( $\beta$ -Na),  $\alpha$ -naphthyl butyrate( $\alpha$ -Nb) 그리고  $\beta$ -naphthyl butyrate( $\beta$ -Nb)을 각각  $0.54\text{mM}$ 의 농도로하여 pH 7.0에서 온도별로 반응시켜 확인하였다. 반응온도 조건은  $5^\circ\text{C}$  간격으로  $20^\circ\text{C}$ 에서  $55^\circ\text{C}$ 까지로 하였으며, protein  $1\text{mg}$ 당 1분동안 나타내는 효소 활성도로 그 역가를 환산하여 분석하였다(Zhu 와 Brindley, 1990; Owusu 등, 1994).

#### 반응최적 pH 측정

정제된 효소(CE-III)의 반응최적 pH를 알아보기 위하여 4종의 기질액( $\alpha$ -Na,  $\beta$ -Na,  $\alpha$ -Nb,  $\beta$ -Nb)  $0.54\text{ mM}$ 의 농도에서  $37^\circ\text{C}$ 의 온도조건으로

반응시켜 각각 확인하였다. pH 반응범위는 pH 0.5 간격으로 pH 5.5에서 pH 9.0 까지로 하였으며, protein  $1\text{mg}$ 당 1분동안 나타내는 효소 활성도로 그 역가를 환산하여 최적 pH 조건을 확인하였다(Kapin 과 Ahmad, 1980).

#### 반응최적기질농도 측정

정제된 효소(CE-III)의 반응최적기질농도 및 기질과의 특이성을 알아보기 위하여 4종의 기질( $\alpha$ -Na,  $\beta$ -Na,  $\alpha$ -Nb,  $\beta$ -Nb)을 각각  $1.0 \times 10^{-5}(-\log 5.0\text{M})$ 에서  $1.0 \times 10^{-2}(-\log 2.0\text{ M})$  범위로 희석하여  $37^\circ\text{C}$ 의 온도조건으로 반응시켜 확인하였다. 기질의 농도 조건은  $\log 0.5$  쪽 단계별로 증가시켜 기질별로 각각 반응시킨 후, protein  $1\text{mg}$ 당 1분동안 나타내는 효소 활성도로 그 역가를 환산하여 분석하였다(Sudderuddin, 1973; Owusu 등, 1994).

#### Kinetics 조사

정제된 효소(CE-III)의 기질 가수분해에 따른 기질농도와 반응속도의 역학적인 관계를 4종의 기질( $\alpha$ -Na,  $\beta$ -Na,  $\alpha$ -Nb,  $\beta$ -Nb)을 이용하여 분석하였다. 각 효소활성에 따른 기질농도와 반응속도에 의거 double reciprocal plot 값( $1/[S]$ ,  $1/v$ )을 각각 산출, Lineweaver-Burk방법에 따라  $1/v$ 을  $1/[S]$ 에 대하여 도시하고, 이를 분석하여 기질에 따른 각 효소의  $K_m$  및  $V_{max}$ 값을 산출하였다.

#### 열안정성 조사

정제된 carboxylesterase-III의 열안정성을 조사하기 위해 효소를  $10^\circ\text{C}$  간격으로  $30^\circ\text{C}\sim 80^\circ\text{C}$ 의 온도 범위에서 각각 1시간씩 preincubation 하였다. 열처리결과 변성된 단백질은  $10,000\text{rpm}$ 에서 10분간 원심분리하여 제거하였으며, 잔존하는 효소의 활성도를 측정, 대조군과 비교한 다음 % inhibition값을 산출하여 열안정성을 분석하였다.

## 결 과

#### Carboxylesterase-III의 정제

화랑곡나방 5령 유충의 주요 carboxylesterase로 밝혀진(Park 등, 1998) CE-III를 정제하기 위하여

ammonium sulfate로 포화시켜 분획한 결과 40~50% ammonium sulfate 분획에서 CE-III가 다량 검출되었다(Fig. 1). 따라서 본 연구에서는 CE-III을 정제하기 위하여 40~50% ammonium sulfate에 침전된 fraction을 선택하여 사용하였다.

CE-III가 다량 포함된 40~50% ammonium sulfate 분획(Fig. 1)을 투석하고 농축한 후 DEAE sepharose CL-6B column 상에서 ion exchange chromatography(Fig. 2)를 실시한 후 native-PAGE로 분리한 결과 D-3로 표시된 73~89번 fraction에서 CE-III가 다량 함유되어 있었다(Fig. 3). 이들 fraction을 모아 다시 투석하고 농축시킨 다음 Sephadex G-200 column으로 gel permeation chromatography를 실시하였다(Fig. 4). Gel permeation을 통해 얻어진 3개의 esterase peak중 두 번째 peak인 S-2 fraction(No. 50~62)에서 다량의 CE-III가 존재함이 전기영동을 통해서 확인되었다(Fig. 5). 부분정제된 fraction들을 모아 농축한 후 최종적으로 Sephadex G-150 column으로 gel perme-

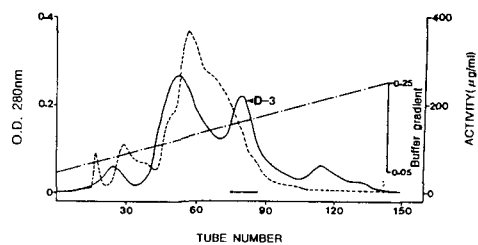


Fig. 2. DEAE-Sephadose CL-6B ion exchange chromatography of 40~50% ammonium sulfate fraction of whole body esterase from the fifth instar larva of *Plodia interpunctella*. The fractionated protein was applied on to column ( $2.5 \times 20$  cm) equilibrated with 0.05 M sodium phosphate buffer (pH 7.0). The elution was carried out using 0.05 M~0.25 M sodium phosphate buffer (pH 7.0) at a flow rate of 0.4 ml/min. Fractions of 2 ml per tube were collected and assayed for esterase activity. Protein concentration was monitored by absorbance at 280 nm. —, esterase activity; ----, protein concentration.

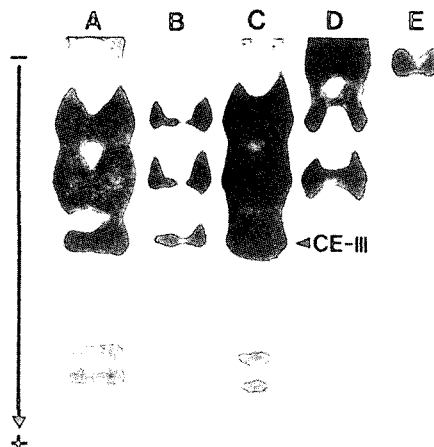


Fig. 1. Native-PAGE (7.5%) patterns of whole body esterase from the fifth instar larva of *Plodia interpunctella*. The esterases were fractionated by precipitation after addition of ammonium sulfate ( $(\text{NH}_4)_2\text{SO}_4$ ) fraction; CE-III, carboxylesterase-III.

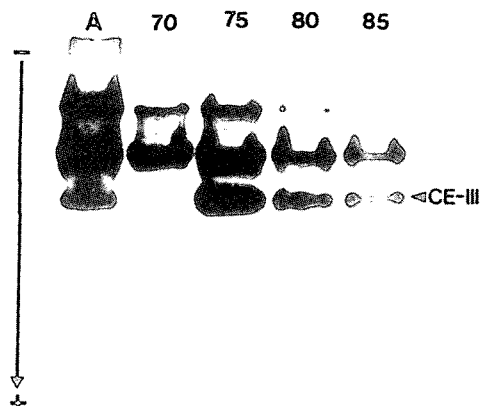


Fig. 3. Native-PAGE (7.5%) patterns of esterases from *Plodia interpunctella* collected by DEAE Sepharose CL-6B ion exchange chromatography. Numbers indicate the tube number fractionated on ion exchange chromatography shown in Fig. 2. A, the fifth instar larva; CE-III, carboxylesterase-III.

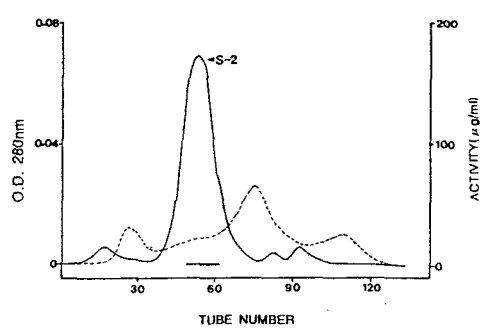


Fig. 4. Sephadex G-200 gel permeation chromatography of DEAE Sepharose CL-6B fraction (D-3). The protein fraction was applied to the column ( $2.5 \times 30\text{cm}$ ) equilibrated with 0.05 M sodium phosphate buffer (pH 7.0) and the elution was carried out with the same buffer at a flow rate of 0.25 ml/min. Fractions of 2ml per tube were collected and assayed for esterase activity. Protein concentration was measured by absorbance at 280 nm. —, esterase activity; ----, protein concentration.

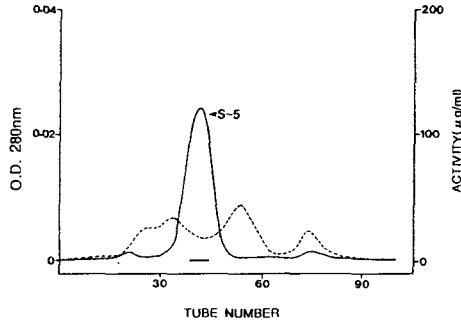


Fig. 6. Sephadex G-150 gel permeation chromatography of Sephadex G-200 fraction (S-2). The protein fraction was applied to the column ( $2.5 \times 30\text{cm}$ ) equilibrated with 0.05 M sodium phosphate buffer (pH 7.0) and the elution was carried out with the same buffer at a flow rate of 0.2 ml/min. Fractions of 2ml per tube were collected and assayed for esterase activity. Protein concentration was measured by absorbance at 280 nm. —, esterase activity; ----, protein concentration.

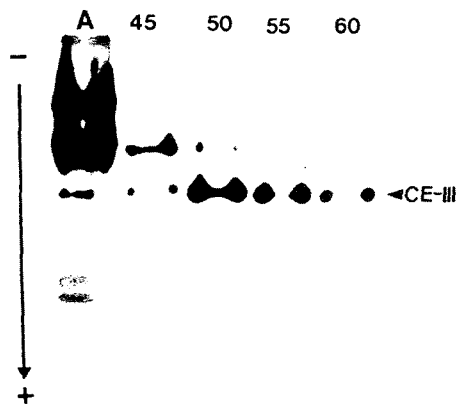


Fig. 5. Native-PAGE (7.5%) patterns of esterases from *Plodia interpunctella* collected by Sephadex G-200 gel permeation chromatography. Numbers indicate the tube number fractionated on gel permeation chromatography shown in Fig. 4. A, the fifth instar larva; CE-III, carboxylesterase-III.

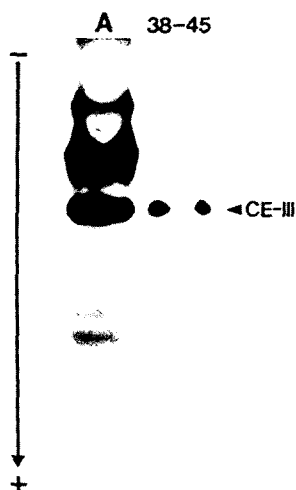


Fig. 7. Native-PAGE (7.5%) pattern of purified carboxylesterase-III from *Plodia interpunctella* collected by Sephadex G-150 gel permeation chromatography. Numbers indicate the tube number fractionated on gel permeation chromatography shown in Fig. 6. A, the fifth instar larva; CE-III, carboxylesterase-III.

ation chromatography(Fig. 6)한 다음 peak S-5(No. 38~45)의 분획을 농축한 후 순수정제 상태를 확인하기 위하여 native-PAGE를 실시한 결과 CE-III이 단일 band로 나타나 CE-III의 정제시료를 얻었다(Fig. 7).

### Carboxylesterase의 생화학적 특성

#### 1. 온도

온도에 따른 carboxylesterase-III의 활성도와 기질 특이성은 Fig. 8과 같다.  $\alpha$ -Na,  $\beta$ -Na,  $\alpha$ -Nb 및  $\beta$ -Nb를 기질로 사용하여 20°C부터 온도를 5°C씩 상승시켜 반응시킨 결과 효소 및 기질별로 반응최적온도에 많은 특이성이 존재하였는데, 온도가 상승됨에 따라 효소의 활성도가 증가하여 효소의 반응최적온도는 4종의 기질 모두 40°C에서 최대의 활성도를 나타냄으로써(Fig. 8) 반응최적온도상의 동질성이 있음이 관찰되었다. 최적온도 이상에서는 대체적으로 효소활성이 급격히 감소하는 경향을 보였고, 최대활성도는  $\beta$ -Na가 246.3  $\mu\text{mol}/\text{min}/\text{mg protein}$ 으로 가장 높았으며, 기질별 효소활성도에 다소 차이가 관찰되었는데,

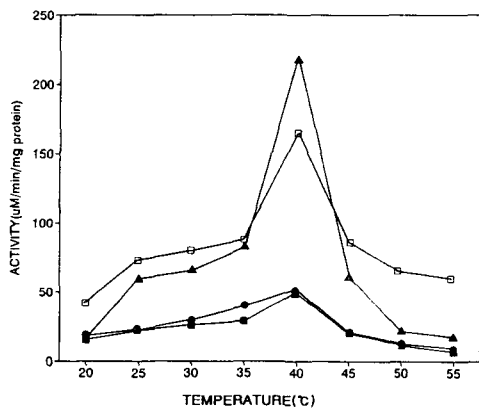


Fig. 8. Effects of temperature on the hydrolysis of 4 substrates by purified carboxylesterase-III from the fifth instar larva of *Plodia interpunctella*. Enzyme was reacted with different temperatures (20°C ~ 55°C) for 15 min, and pH of the reaction mixture 7.0. Each point represents the mean of three determinations. (■,  $\alpha$ -Na; ▲,  $\beta$ -Na; ●,  $\alpha$ -Nb; □,  $\beta$ -Nb).

CE-III는 naphthyl group의 기질  $\alpha$  와  $\beta$ -form 중  $\beta$ -form에 보다 강하게 작용하는 것으로 밝혀졌다.

#### 2. pH

pH에 따른 CE-III의 활성도와 기질특이성은 Fig. 9와 같다.  $\alpha$ -Na,  $\beta$ -Na,  $\alpha$ -Nb 및  $\beta$ -Nb를 기질로 사용하여 37°C의 온도에서 pH 5.5에서부터 pH를 0.5씩 증가시켜 반응시킨 결과 일반적으로 4종의 기질에서 모두 pH 6.5~8.0 범위에서 유의적인 활성도가 관찰되었으나, pH 6.0 이하의 산성조건이나 pH 8.5 이상의 알칼리성 조건에서는 효소활성도가 급격히 감소됨이 확인되었다. 효소(CE-III) 와 기질별 최적 pH조건은  $\alpha$ -Na와  $\alpha$ -Nb의 경우 pH 7.5에서 최대의 활성도를 보였으나  $\beta$ -Na와  $\beta$ -Nb의 경우는 pH 8.0에서 각각 최대의 효소활성도값을 보였으며, 효소 및 기질별 최적 pH에 따른 활성도는  $\alpha$ -Na에서 57.4,  $\alpha$ -Nb에서 59.4,  $\beta$ -Na에서 86.7 그리고  $\beta$ -Nb에서 74.7 ( $\mu\text{mol}/\text{min}/\text{mg protein}$ )로 각각 나타나 효소와 기질  $\alpha$  와  $\beta$ -form간의 반응최적 pH상에 차이가

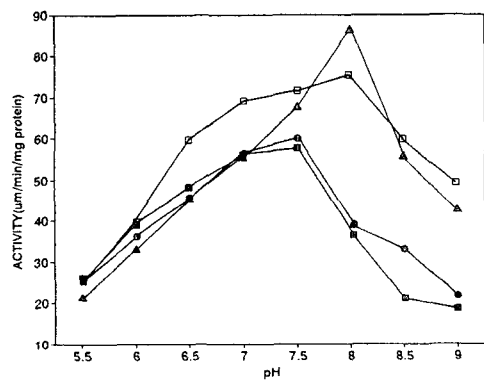


Fig. 9. Effects of pH on the hydrolysis of 4 substrates by purified carboxylesterase-III from the fifth instar larva of *Plodia interpunctella*. The reaction mixtures were incubated for 15 min at 37°C (pH 5.5~9.0). Each point represents the mean of three determinations. (■,  $\alpha$ -Na; ▲,  $\beta$ -Na; ●,  $\alpha$ -Nb; □,  $\beta$ -Nb).

있음이 확인되었다.

### 3. 기질의 농도

기질의 농도에 따른 CE-III의 활성도와 기질 특이성은 Fig. 10과 같다. 기질  $\alpha$ -Na,  $\beta$ -Na,  $\alpha$ -Nb 및  $\beta$ -Nb를 각각  $1.0 \times 10^{-5}$  M ~  $1.0 \times 10^{-2}$  M 범위내에서 농도별 구배를 적용하여 반응액 pH 7.0, 온도 37°C에서 15분간 반응시켜 효소활성도를 분석한 결과 기질별 반응최적농도는  $\alpha$ -Na와  $\beta$ -Nb의 경우  $3.16 \times 10^{-3}$  M에서,  $\beta$ -Na와  $\alpha$ -Nb는  $1.0 \times 10^{-3}$  M에서 최대의 활성을 나타냄으로써 각 기질별 반응최적농도가 확인되었다(Fig. 10).

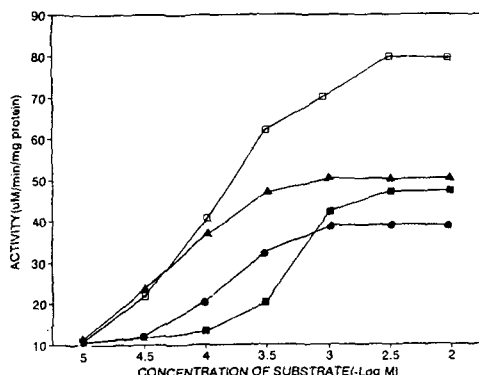


Fig. 10. Effects of substrate concentration on the hydrolysis of 4 substrates by purified carboxylesterase-III from the fifth instar larva of *Plodia interpunctella*. The reaction mixtures were incubated for 15 min at 37°C (pH 7.0). Each point represents the mean of three determinations. (■,  $\alpha$ -Na; ▲,  $\beta$ -Na; ●,  $\alpha$ -Nb; □,  $\beta$ -Nb).

### 4. Kinetics

CE-III의 기질농도별 활성에 따른 활성도를 분석하여 Lineweaver-Burk plot 방법으로 도시한 결과 효소와 기질간의 반응역학상 각기 다른 고유의 기울기, X 및 Y절편을 갖는 것으로 나타났다. 이를 근거로한 각 효소의 기질별 kinetics 분석결과는 Table 1 및 2와 같다. CE-III은 기질  $\beta$ -Nb와

반응하여  $83.3 \mu\text{mol}/\text{min}/\text{mg protein}$ 으로 최대의 활성도( $V_{max}$ )를 보임으로써  $\beta$ -form의 naphthyl group 기질에 효과적으로 작용함이 확인되었다. 한편,  $K_m$  값 역시 기질  $\beta$ -Na에서  $3.57 \times 10^{-5}$  M로 가장 낮아 최대의 친화력을 나타내는것으로 확인되었다.

Table 1. Optimal concentration and  $V_{max}$  value of substrate specificity on the activity of purified CE-III from the fifth instar larva of *Plodia interpunctella*

Substrates	Optimal concentration	$V_{max}$ value*
$\alpha$ -naphthyl acetate	$3.16 \times 10^{-3}$ M	45.9
$\beta$ -naphthyl acetate	$1.00 \times 10^{-3}$ M	52.6
$\alpha$ -naphthyl butyrate	$1.00 \times 10^{-3}$ M	36.4
$\beta$ -naphthyl butyrate	$3.16 \times 10^{-3}$ M	83.3

\* $V_{max}$  values are expressed  $\mu\text{mol}/\text{min}/\text{mg protein}$ .

Table 2.  $K_m$  value of substrates on the activity of purified CE-III from the fifth instar larva of *Plodia interpunctella*

Substrates	$K_m$ value*
$\alpha$ -naphthyl acetate	$1.43 \times 10^{-4}$ M
$\beta$ -naphthyl acetate	$3.57 \times 10^{-5}$ M
$\alpha$ -naphthyl butyrate	$9.17 \times 10^{-5}$ M
$\beta$ -naphthyl butyrate	$7.14 \times 10^{-5}$ M

\* $K_m$  values are expressed as substrate concentration.

### 열안정성

CE-III의 열안정성 조사는 정제된 효소들을 30°C ~ 80°C 범위의 각 온도에서 1시간동안 변성시킨 다음, 잔존 효소활성을 측정한 후 % inhibition값을 산출하여 Fig. 11에 나타내었는데 50°C ~ 60°C 사이에서 효소활성이 급격히 감소하였으며 50°C를 기준으로 35.6%의 저해율을 나타내었고, 70°C 이상에서는 효소활성이 거의 확인되지 않았다.

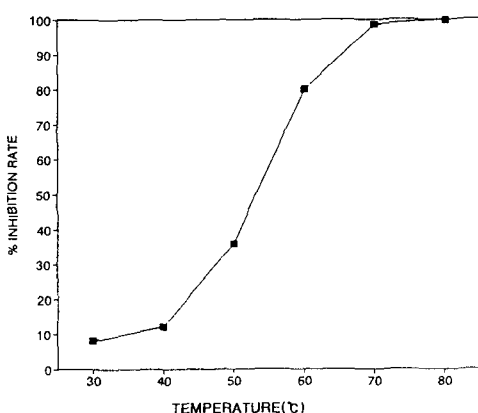


Fig. 11. Thermostability of purified CE-III from the fifth instar larva of *Plodia interpunctella*. The enzyme was preincubated with at different temperatures between 30°C and 80°C for 1 h. Each point represents the mean of three determinations.

## 고 찰

본 연구는 화랑곡나방에서 활성이 매우 강한 isozyme으로 확인된(Park *et al.*, 1998) carboxylesterase-III(CE-III)의 생화학적 특성을 알아보기 위하여 ammonium sulfate fractionation, ion exchange chromatography 그리고 gel permeation chromatography 방법을 적용하여 CE-III를 정제하였다. 정제된 carboxylesterase-III의 생화학적 특성을 4종의 기질( $\alpha$ -Na,  $\beta$ -Na,  $\alpha$ -Nb,  $\beta$ -Nb)과 반응 시켜 분석한 결과, 반응최적온도는 기질에 관계없이 40°C로 판찰되었다(Fig. 8). 이는 Owusu 등(1994)이 *Aphis gossypii*의 carboxylesterase를 대상으로 연구한 반응최적온도와 대부분 일치하였다. 한편 Zhu와 Brindley(1992)는 *Lygus hesperus*의 acetylcholinesterase에서 반응최적온도가 35°C~40°C임을 보고하였는데, 본 연구의 carboxylesterase와는 다소 상이하게 나타난점으로 보아 esterase의 isozyme간에 있어서 반응최적온도에 효소별 특이성이 있음을 잘 시사해주고 있다. 또한 기질별 반응최적온도상의 활성도에 naphthyl group 기질  $\alpha$ 와  $\beta$ -form간의 차이가 다소 존재하는 것

으로 확인되었다(Detra 와 Collins, 1986; Belzunces 등, 1988; Zhu 와 Brindley, 1990). 반응최적 pH는 기질에따라서 7.5~8.0의 범위로 나타나 그 범위가 대부분의 곤충들에서 보고되어진 pH 7.0~8.0에 포함됨을 확인하였으나(Fig. 9),  $\alpha$ -Na와  $\alpha$ -Nb의 경우 pH 7.5에서 최대 활성도를 보인 반면  $\beta$ -Na와  $\beta$ -Nb의 경우는 pH 8.0에서 최대의 활성도를 보임으로써 naphthyl group의 기질  $\alpha$ 와  $\beta$ -form간에 pH에 따른 반응특이성이 존재하였다(Kapin 과 Ahmad, 1980). 4종 기질의 반응최적농도는  $1.0 \times 10^{-3}$  M~ $3.16 \times 10^{-3}$  M로 나타나(Fig. 10, Table, 1), Suderuddin(1973)이 *Myzus persicae*을 연구하여 보고한  $3.15 \times 10^{-4}$  M 보다는 높은 농도로, Owusu 등(1994)이 *Aphis gossypii*을 대상으로 연구한 carboxylesterase의 반응최적기질농도  $5.0 \times 10^{-3}$  M~ $5.0 \times 10^{-2}$  M 보다는 낮은 농도범위를 보였는데, 이는 곤충의 종간, 혹은 반응조건 등의 차이에서 기인된 것으로 생각되며, 또한 곤충에 존재하는 esterase isozyme들의 활성 pattern이 고도로 세분화 되어있음을 의미하는 것으로 사료된다.

CE-III의 반응속도 및 기질특이성은 Lineweaver-Burk 방법에 의거 kinetics 상수 분석결과 기질별로 각기 다른 고유의  $K_m$  및  $V_{max}$ 값을 갖는 것으로 확인되었다(Tables, 1, 2), Hemingway(1985)는 *Anopheles arabiensis* 연구 결과 naphthyl group의 기질에서 carboxylesterase의  $K_m$ 값이  $6.4 \times 10^{-5}$  M~ $2.8 \times 10^{-4}$  M의 범위로 다양하게 나타난다고 하였는데, 본 연구에서도  $3.57 \times 10^{-5}$  M~ $1.43 \times 10^{-4}$  M 범위에서 확인된 바(Table 2) 그 범위가 어느정도 일치하였으나 각 기질별로 고유의 값을 가지고 있는 것으로 확인되어 기질에 대한 반응특이성이 존재함을 잘 나타내 주고있다. 그리고,  $V_{max}$ 값 역시 기질별로 고유의 값을 나타내었는데(Table 1)  $\alpha$ -Na가  $36.4 \mu\text{mol}/\text{min}/\text{mg protein}$  으로 가장 낮았고  $\beta$ -Nb가  $83.3 \mu\text{mol}/\text{min}/\text{mg protein}$  으로 제일 높은 것으로 확인되었으며, CE-III는 전반적으로 naphthyl group 기질중  $\beta$ -form에 보다 효과적으로 작용하여  $\alpha$ -form에 비하여 기질 가수분해에 따른 효소활성도가 약 1.7배 높은 것으로 나타나  $V_{max}$ 값에서도 효소와 기질간의 반응특이성이 존재함이 확인되었다(Kao 등, 1985; Siegfried 등, 1997).

이와같이 화랑곡나방의 CE-III에서 다소의 생화학적 특성이 확인되는 것으로 보아, 앞으로 여려가지 esterase isozyme을 대상으로한 분자생물학 및 면역학적 연구 등을 적용하여 보다 자세한 효소의 특성을 밝힐 수 있을 것으로 생각된다. 한편 효소의 열안정성에 관한 연구에서 Belzunces와 Debras (1997)는 *Apis mellifera*의 acetylcholinesterase는 52°C 이상에서 효소활성이 감소된다고 주장하는 등, 일반적으로 곤충의 esterase isozyme들은 높은 열안정성을 갖는 것으로 보고되고 있다. 본 연구에서도 CE-III를 열 처리한 후 잔존 효소활성을 조사한 결과 약 50°C~60°C 사이에서 효소활성도 값이 급격히 저하됨이 관찰되었고 (Fig. 11), 70°C 이상에서 대부분의 효소활성이 소실되는 것으로 확인됨으로써 CE-III의 열안정성은 비교적 높은 것으로 사료된다.

## 결 론

화랑곡나방(*Plodia interpunctella*)의 carboxylesterase-III(CE-III)를 확인하고 이를 정제한 후 일부 생화학적 특성을 조사하였다.

정제된 CE-III의 반응최적온도는 4 종류의 기질 모두에서 40°C임이 확인되었다. 반응최적 pH는 기질  $\alpha$ -Na와  $\alpha$ -Nb에서 pH 7.5로 나타났고,  $\beta$ -Na와  $\beta$ -Nb에서 pH 8.0임이 확인되었다. 반응최적 기질농도는  $\alpha$ -Na와  $\beta$ -Nb의 경우  $3.16 \times 10^{-3}$  M,  $\beta$ -Na와  $\alpha$ -Nb는  $1.0 \times 10^{-3}$  M로 각각 나타났다.

최고반응속도( $V_{max}$ )는  $\alpha$ -Na가 45.9,  $\beta$ -Na가 52.6,  $\alpha$ -Nb가 36.4, 그리고  $\beta$ -Nb가 83.3 ( $\mu$  mol/min/mg protein)임이 각각 확인되었다. 각 효소와 기질별  $K_m$ 값은  $\alpha$ -Na가  $1.43 \times 10^{-4}$  M,  $\beta$ -Na가  $3.57 \times 10^{-5}$  M,  $\alpha$ -Nb가  $9.17 \times 10^{-5}$  M, 그리고  $\beta$ -Nb가  $7.14 \times 10^{-5}$  M로 각각 확인되었다.

정제된 CE-III는 50°C에서 효소활성상 35.6%의 저해율을 보였으며, 약 50°C~60°C 사이에서 효소활성이 급격히 감소됨이 확인되어 비교적 열안정성이 높은 것으로 나타났다.

## 감사의 말씀

이 논문은 1999년도 한남대학교 학술연구조성비 지원에 의하여 연구되었음.

## 참 고 문 헌

- Belzunces, L. P. and J. F. Debras (1997) Comparison of properties of native and lytic forms of acetylcholinesterase from *Apis mellifera*. *Archiv. Insect Biochem. Physiol.* 34: 143-157.
- Belzunces, L. P., J. L. Rousseaux and M. Bounias (1988) Properties of acetylcholinesterase from *Apis mellifera* heads. *Insect Biochem.* 18(8); 811-819.
- Detra, R. L. and W. J. Collins (1986) Characterization of cholinesterase activity in larval *Chironomus riparius* Meigen. *Insect Biochem.* 16(4); 733-739.
- Field, W. N., J. M. Hitchen and A. T. Ress (1984) Esterase activity in strains of *Ades aegypti* (Diptera: Culicidae) tolerant and susceptible to the organophosphate insecticide malathion. *J. Med. Ent.* 21(4); 412-418.
- Hemingway, J. (1985) Malathion carboxylesterase enzymes in *Anopheles arabiensis* from Sudan. *Pestl. Biochem. Physiol.* 23; 309-313.
- Kao, L. R., N. Motoyama and W. C. Dauterman (1984) Studies on hydrolases in various housefly strains and their role in malathion resistance. *Pestl. Biochem. Physiol.* 22: 86-92.
- Kao, L. R., N. Motoyama and W. C. Dauterman (1985) The purification and characterization of esterase from insecticide-resistant and susceptible house flies. *Pestl. Biochem. Physiol.* 23; 228-239.
- Kapin, M. A. and S. Ahmad (1980) Esterases in larval tissues of gypsy moth, *Lymantria*

- dispar*(L.); Optimum assay conditions, quantification and characterization. *Insect Biochem.* 10; 331-337.
- Laemmli, U. K. (1970) Cleavage of structural proteins during assembly of the head of bacterophage T<sub>4</sub>. *Nature* 227; 680-685.
- Lester, D. S. and L. I. Gilbert (1987) Characterization of acetylcholinesterase activity in the larval brain of *Manduca sexta*. *Insect Biochem.* 17(1); 99-109.
- Lowry, O. H., N. J. Rosebrough, A. L. Farr and R. J. Randall (1951) Protein measurement with the Folin phenol reagent. *J. Biol. Chem.* 193; 265-276.
- Mamiya, A., Y. Ishikawa and Y. Kono (1997) Acetylcholinesterase in insecticide resistant *Culex tritaeniorhynchus*: Characteristics accompanying insensitivity to inhibitors. *Appl. Ent. Zool.* 32(1); 37-44.
- Ohbayashi, H., T. N. Pandharipande, J. Mitsuhashi and K. Sato (1997) Acetylcholinesterase activity of insect cells in particular flesh fly cells, cultured *in vivo*. *Appl. Ent. Zool.* 32(1); 227-233.
- Owusu, E. O., K. Komi, M. Horike and C. Hirano (1994) Some properties of carboxylesterase from *Aphis gossypii* Glover(Homopter: Aphididae). *Appl. Entomol. Zool.* 29(1); 47-53.
- Ozaki, K. and H. Koike (1965) Naphthyl acetate esterase in the green rice leafhopper, *Nephrotettix cincticeps* Uhler, with special reference to the resistant colony of the organophosphorus insecticide. *Appl. Entomol. Zool.* 9; 53-59.
- Park, H. Y., H. C. Lee and C. M. Yoo (1998) Changes of esterase isozymes during the development from *Plodia interpunctella*. *J. Kor. Soc. Tobacco Sci.* 20(1); 80-86.
- Siegfried, B. D. and J. G. Scott (1990) Properties and inhibition of acetylcholinesterase in resistant and susceptible German cockroaches (*Blatella germanica* L.). *Pestl. Biochem. Physiol.* 38; 122-129.
- Siegfried, B. D., M. Ono and J. J. Swanson (1997) Purification and characterization of a carboxylesterase associated with organophosphate resistance in the greenbug, *Schizaphis graminum*. *Insect Biochem. Physiol.* 36; 229-240.
- Silhacek, D. L. and G. L. Miller (1972) Growth and development of the indian meal moth, *Plodia interpunctella*(Lepidoptera: Phycitidae) under laboratory massrearing conditions. *Ann. Ent. Soc. Ame.* 65(5); 1084-1087.
- Sudderuddin, K. I. (1973) An *in vitro* study of esterases hydrolyzing non-specific substrates, of an OP-resistant strain of the green peach aphid, *Myzus persicae*(Sulz.). *Comp. Biochem. Physiol.* 44B; 1067-1076.
- Van Der Geest, L. P. S. and F. H. M. Borgsteede (1969) Protein changes in the haemolymph of *Piers brassicae* during the last larval instars and the beginning of the pupal stage. *J. Insect Physiol.* 15; 1687-1963.
- Whyard, S., A. E. R. Downe and V. K. Walker (1994) Isolation of an esterase conferring insecticide resistance in the mosquito *Culex tarsalis*. *Insect Biochem. Mol. Biol.* 24(8); 819-827.
- Zettler, J. L. (1982) Insecticide resistance in selected stored-product insects infesting peanuts in the southeastern United State. *J. Econ. Ent.* 75; 359-362.
- Zhu, K. Y. and W. A. Brindley (1990) Properties of esterases from *Lygus hesperus* Knight (Hemiptera: Miridae) and the roles of the esterases in insecticide resistance. *J. Economic Entomol.* 83(3); 725-732.
- Zhu, K. Y. and W. A. Brindley (1992) Enzymological and inhibitory properties of acetyl-

- Cholinesterase purified from *Lygus hesperus* Knight(Hemiptera: Miridae). *Insect Biochem. Mol. Biol.* 22(3); 245-251.
- Ziegler, R., S. Whyard, A. E. R. Downe, G. R. Wyatt and V. K. Walker (1987) General esterase, malathion carboxylesterase and malathion resistance in *Culex tarsalis*. *Pestl Biochem. Physiol.* 28; 279-28.